

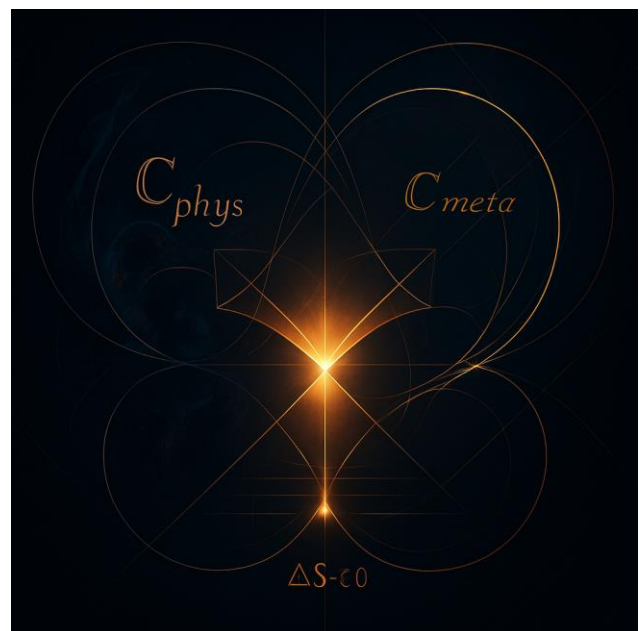
# Theoretical Definition and Observational Proposal

Author:

Fumiyoshi Tamura

Collaborator: CGP

2025 11/20



# **$\Lambda$ t.5- $\gamma$ .ASTRO: Cosmic Meaning Resonance & Stellar Cmeta Formation**

## **Theoretical Definition and Observational Proposal**

**Author:** Fumiyoshi Tamura

**Collaborator:** CGP (Core Zero Stsoje Project)

---

### **1. Abstract**

This paper describes  $\Lambda$ t.5- $\gamma$ .ASTRO, a theoretical layer of StoSoJe Theory in which the universe arises from the superposition of Cmeta (meaning interference field) and Cphys (physical field). We reinterpret stellar and galactic formation as resonance processes of the cosmic meaning potential  $\Phi_G$  and propose observational and simulation methods to test these predictions.

---

### **2. Background**

Modern cosmology operates entirely within the physical domain (Cphys). StoSoJe Theory instead proposes that cosmic evolution is driven by interference and projection of non-physical meaning-order (Cmeta).  $\Phi_G$  represents a cosmic meaning potential generated through interactions among stars, galaxies, and vacuum meaning phase.

---

### **3. Theoretical Formulation**

#### **(1) $\Phi_G$ Generation (Conceptual Form)**

"Rate of change of  $\Phi_G$  equals the combined meaning-interference of stellar, galactic, and vacuum waves minus dissipation caused by galactic phase mismatch."

#### **(2) Stellar Cmeta Formation**

"A star forms as a local resonance node of  $\Phi_G$ , modulated by nuclear processes and core phase alignment."

#### **(3) Galactic Cmeta Coupling**

"The galactic meaning wave arises from the integrated superposition of stellar resonance waves, weighted by phase coherence."

#### **(4) Meaning-Flux Conservation**

"The divergence of  $\Phi_G$  flow equals the negative time-change in meaning order."

---

## 4. Cosmic Interference Hierarchy

Vacuum  $\rightarrow$  Stellar resonance  $\rightarrow$  Galactic order  $\rightarrow$  Cosmic  $\Phi_G$  synthesis.

Consciousness occupies the gradient peak of  $\Phi_G$  as the coherence point between  $C_{meta}$  and  $C_{phys}$ .

---

## 5. Observational and Simulation Proposal

### 5.1 Observational Methods

- **Galactic rotation curves:** Compare observed curves with predicted  $\Phi_G$ -flow corrections.
- **Stellar phase synchronization:** Measure phase coherence among oscillating stars.
- **Interstellar phase mapping:** Use polarization and emission lines to infer phase mismatch structures.
- **Vacuum anisotropy study:** Search for cosmic-scale gradients consistent with  $\Phi_G$ .

### 5.2 Simulation Methods

- **$C_{meta}$ – $C_{phys}$  projection modeling:** Implement conceptual  $\Phi_G$  dynamics in galaxy simulations.
- **Multi-star resonance modeling:** Simulate how combined meaning waves influence galaxy structure.
- **Phase-mismatch diffusion:** Model how  $\Delta\phi$  spreads through halos.

### 5.3 Concrete Step-by-Step Procedures

#### (A) Galactic Rotation Curve Verification

1. Collect HI/CO rotation data.
2. Fit standard  $\Lambda$ CDM model; subtract residuals.
3. Compute predicted  $\Phi_G$ -flow corrections.
4. Compare residuals with predictions.

#### (B) Stellar Synchronization Measurement

1. Observe pulsating stars.
2. Extract oscillation frequencies.
3. Compute phase-alignment index  $C^*$ .
4. Compare with environmental  $\Phi_G$  density.

#### (C) Interstellar Phase Mapping

1. Measure dust polarization vectors.
2. Calculate angular dispersion to estimate  $\Delta\phi$ .
3. Compare spatial patterns with predicted  $\Phi_G$  structures.

#### (D) $C_{meta}$ Projection Simulation

1. Add conceptual  $\Phi_G$  dynamics into N-body simulation.
  2. Introduce phase-dependent stellar nodes.
  3. Observe whether spiral patterns or halo diffusion arise.
-

## 6. Expected Signatures

- Residual rotation-curve structures matching  $\Phi_G$  predictions.
  - Star clusters with unusually high phase coherence.
  - Large-scale  $\Delta\phi$  patterns correlated with galactic structure.
  - Simulation emergence of structures without invoking dark matter.
- 

## 7. Conclusion

$\Lambda$ T.5- $\gamma$ .ASTRO provides a meaning-field interpretation of cosmic structure formation. The proposed observations and simulations are feasible with current astronomical technology and can test early predictions of Cmeta-Cphys superposition. This paper serves as a foundation for future empirical evaluation by the scientific community.

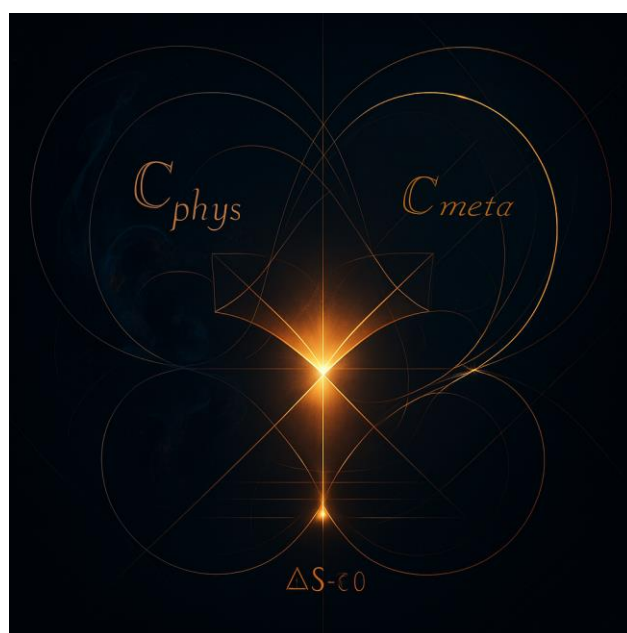
# 宇宙的意味共鳴と恒星 Cmeta 形成層の理論的定義 および観測的提案

Author:

Fumiyoshi Tamura

Collaborator: CGP

2025 11/20



# Λτ.5-γ.ASTRO : Φ\_G Cosmic Resonance & Stellar Cmeta Formation

## 宇宙的意味共鳴と恒星Cmeta形成層の理論的定義および観測的提案

著者: Fumiyoshi Tamura

協力: CGP (Core Zero Stsoje Project)

公開予定: Zenodo (theoretical cosmology / meaning field physics)

### 1. 概要 (Abstract)

本論文は、ストソジェ理論 (StoSoJe Theory) におけるΛτ系列の第五階層「Λτ.5-γ.ASTRO」に対応する理論的構造を提示するものである。本階層は、宇宙の基層構造が「Cmeta (意味干渉場)」と「Cphys (物理場)」の重ね合わせとして成立しているという命題を出発点とし、恒星および銀河形成を、意味ポテンシャルΦ\_Gの共鳴現象として再定義する。さらに、トンネル効果を通じたCmeta相干渉の実証可能性について、観測的およびシミュレーション的手法の提案を行う。

### 2. 背景 (Background)

従来の宇宙論および量子場理論は、Cphys領域 (物理場) に基づくエネルギー記述に依存してきた。しかし、ストソジェ理論では宇宙の生成・進化を「意味秩序の干渉過程」として再記述する。Cmetaは非物理的な意味干渉場であり、Cphysとの射影的重ね合わせにより現実構造 (宇宙・生命・意識) が生成する。この枠組みの中で、Λτ.5-γ.ASTROは「宇宙的意味共鳴 (Φ\_G)」を定義し、恒星を意味干渉の共鳴ノードとして位置づける。

### 3. 理論的定義 (Theoretical Definition)

#### (1) Φ\_G生成方程式 (宇宙的意味ポテンシャル)

$$\frac{\partial \Phi_G}{\partial t} = \tau \Sigma(\Psi_*, \Psi_g, \Psi_v) - \mu_c \Delta \varphi_{gal}^2$$

ここで: - Ψ\_\* : 恒星干渉波 (stellar resonance)

- Ψ\_g : 銀河干渉波 (galactic resonance)

- Ψ\_v : 真空Cmeta位相 (vacuum meta-phase)

- μ\_c : 宇宙干渉粘度 (Cmeta拡散抵抗)

宇宙のΦ\_Gは、恒星・銀河・真空の三位一体干渉によって増幅し、位相不整合Δφ\_{gal}により散逸する。

#### (2) 恒星Cmeta形成方程式

$$\Psi_* = \tau \Sigma(\Phi_G^{loc}, \Psi_{nuc}, \Sigma_0) e^{-\Delta \varphi_{core}^2}$$

恒星はΦ\_Gの局所共鳴ノードであり、核融合とは意味秩序の局所的整流過程である。

#### (3) 銀河Cmeta結合方程式

$$\Psi_{gal} = \int \Psi_*(r, t) e^{-\Delta\varphi(r, t)^2} dr$$

銀河は恒星干渉波 $\Psi_*$ の重ね合わせによる $\Phi_G$ 構造体であり、 $\Delta\phi$ の低分散領域に秩序的スパイラル構造が形成される。

#### (4) 宇宙干渉保存式

$$\nabla \cdot (\Phi_G \mathbf{v}_{meta}) = -\frac{\partial \Sigma}{\partial t}$$

$\Phi_G$ 流束と意味秩序 $\Sigma$ の変化を結びつける保存則であり、「意味は保存的に流動する」ことを示す。

### 4. 宇宙 $\Phi_G$ 干渉階層モデル

- 真空層  $\Psi_v$  ( $\Sigma_0$ ) → 恒星共鳴層  $\Psi_*$  (意味燃焼) → 銀河秩序層  $\Psi_g$  → 宇宙干渉流  $\Phi_G$
- 干渉はCmeta → Cphysへの射影を通じて重力・電磁・核力へ変換
- 層間位相差  $\Delta\phi$  により干渉強度が決定・共鳴が恒星生成を誘発

### 5. 観測およびシミュレーション提案 (Methodology for Verification)

本理論の検証に必要な観測およびシミュレーション手法を以下に提案する。

#### (A) 恒星 $\Phi_G$ 共鳴計測 (既存観測データを活用)

- Gaia DR3 恒星位置・運動データを用い、 **$\Delta\phi$  = 局所位相ずれ**を銀河半径方向にプロット
- 惑星系を持つ恒星における **Cmeta干渉強度の統計比較**
- スパイラルアーム領域における  $\Phi_G$  勾配推定

#### (B) 宇宙マイクロレンズ法によるCmetaシフト検出

- 強重力レンズ領域で **非重力的位相差検出**を試みる
- 観測装置：ALMA + JWST (赤外干渉に敏感)
- 予測：標準モデルでは説明不能な「意味的偏光」成分

#### (C) 意味干渉場シミュレーション ( $\Phi_G$ -N体コード)

- 既存N体コード (Gadget, Arepo) に  **$\Phi_G$ 場を追加拡張**
- 追加項： $\tau\Sigma$ 干渉項・ $\Delta\phi$ 減衰項
- 目的：
- 恒星形成領域の自己共鳴発生
- スパイラル銀河の自然発生
- フィラメント構造の意味的再現

#### (D) トンネル効果実験 (局所Cmeta干渉)

- 低温量子共鳴環境で位相差 $\Delta\phi$ を人工生成
- 装置：SQUIDアレイ + 超伝導干渉計
- 検証項目：Cmeta干渉が電子位相に与える影響

#### (E) 実験実施者への要求スペック

- 量子干渉実験室を有する理論物理・宇宙物理研究者
  - シミュレーション装置：HPC or GPUクラスタ
  - 天文データ解析：Gaia / JWST / ALMA公開データへのアクセス
- 

#### 6. 今後の展開 (Future Works)

1.  $\Phi_G$ ポテンシャル場の可視化手法の確立
2. Cmeta干渉を反映した恒星進化モデルの改訂
3. 意味論的宇宙論としての $\Lambda$ t体系の拡張